

УДК 533.6.011.8

НЕРАВНОВЕСНАЯ ДИССОЦИАЦИЯ ДВУХАТОМНЫХ МОЛЕКУЛ В ПОГРАНИЧНОМ СЛОЕ

МАКАШЕВ Н. К., ПРОВОТОРОВ В. П.

Исследуется влияние процесса диффузии двухатомных молекул на скорость их термической диссоциации. На основе лестничной модели диссоциации молекул — обрезанных гармонических осцилляторов — получено выражение для макроскопической скорости реакции, явно и экспоненциально зависящее от квадрата градиента температуры газа. Молекулы составляют малую примесь в одноатомном инертном газе. Влияние диффузии на скорость диссоциации иллюстрируется результатами численного расчета течения в пограничном слое около критической точки затупленного тепла.

1. Реакцию термической диссоциации двухатомных молекул будем описывать в рамках известного лестничного механизма [1], согласно которому молекула диссоциирует, если находится на β -м колебательном уровне с энергией $E_\beta=Q$, где Q — энергетический порог реакции, т. е. энергия диссоциации. Макроскопическая скорость реакции $A_2+M \rightarrow 2A+M$ здесьдается выражением

$$\left(\sum_i Z_i K_{di} \right) n Y_\beta \quad (1.1)$$

где Z_i — частота столкновений молекул A_2 с частицами M_i , K_{di} — вероятность диссоциации молекул A_2 с колебательной энергией E_β в этих столкновениях, n — числовая плотность молекул A_2 , $n_\beta=n Y_\beta$ — числовая плотность молекул, находящихся на β -м колебательном уровне. Если $Y_\beta=B_\beta(T)$, $B_\alpha(T)$ — больцмановское распределение по колебательным энергиям E_α при температуре T , а распределение по скоростям и вращениям также равновесно (это предположение везде далее считается справедливым), из (1.1) следует равновесное выражение для макроскопической скорости диссоциации.

Обычно диссоциация происходит в условиях, когда $Q \gg kT$, k — постоянная Больцмана, и характерное время реакции τ_{ch} , пропорциональное $\exp(Q/kT)$, намного превышает времена поступательной, вращательной и колебательной релаксации молекул. Однако для молекул с колебательной энергией $E_\beta=Q$ вероятность диссоциации может быть сравнимой или даже больше вероятностей неупругих столкновений. В результате в пространственно однородном случае на временах $\vartheta \sim \tau_{ch}$ населенности верхних колебательных уровней $n Y_\alpha$ и макроскопическая скорость диссоциации отличаются от своих равновесных значений [1].

Движение газа тоже приводит к возмущению локально-равновесных распределений молекул по их энергиям и, следовательно, к отклонению скоростей реакций от равновесных. В течение последнего времени было установлено, что реакции с порогом $Q \gg kT$, происходящие в газовых потоках, характерное время которых ϑ порядка τ_{ch} и намного превышает времена релаксации поступательных и внутренних степеней свободы молекул, могут обладать макроскопическими скоростями, значительно отличающимися как от равновесных, так и неравновесных, соответствующих пространственно однородному случаю. Так, в работах [2, 3] был предложен близкий к чепмен-энгельсовскому метод решения кинетического уравнения Больцмана для многоатомных газов, предназначенный для случая, когда химические реакции идут с участием сильно возбужденных молекул. Согласно приближению этого метода, в выражении для скорости реакции с порогом $Q \gg kT$ появляются неравновесные конечные по величине поправки, пропорциональные ∇u , u — среднемассовая скорость газа, которые необходимо учитывать в главном, эйлеровском приближении [3–6]. В следующем, навье-стоксовском приближении уравнения газодинамики содержат неравновесные поправки к скорости высокопороговой реакции, пропорциональные $(\nabla T)^2$, $\nabla \nabla T$, и т. д. [5, 6].

В работах [7–11] развивается другой подход к решению кинетических уравнений при больших энергиях молекул, основанный на получении асимптотически

точных выражений для функций распределения. Согласно [7–11], возмущающее влияние движения газа на «хвосты» распределений молекул по их энергиям в основном обусловлено пространственно неоднородным полем температуры T . В рамках такого подхода в работе [11] было рассмотрено влияние движения газа на скорость термической диссоциации двухатомных молекул – обрезанных гармонических осцилляторов. Получено выражение для скорости реакции, экспоненциально зависящее от ∇u , и установлена связь этого выражения с результатами работ [3–6]: пропорциональная ∇u поправка в выражении для скорости реакции следует из найденного в [11] экспоненциального поправочного множителя $\exp(-Q\Delta/kT)$ после его разложения по степеням $Q\Delta/kT$. Здесь $\Delta = -2\tau_{vt}\nabla u/3$, τ_{vt} – время колебательной релаксации. Тем самым была определена точность и область применимости результатов работ [3–6], а также механизм возникновения поправок.

Далее исследуется влияние диффузии диссоциирующих молекул на населенность их верхних колебательных уровней и скорость диссоциации. Как и в [11], молекулы моделируются обрезанными гармоническими осцилляторами с энергией $E_\alpha \ll Q$. Пренебрежение ангармонизмом молекул, облегчая анализ и решение, искажает результат и позволяет получить «верхнюю» оценку величины неравновесной поправки к скорости реакции. В дальнейшем этот недостаток теории предполагается устранить. Концентрацию молекул будем считать малой по сравнению с концентрацией атомов инертного газа-разбавителя. Это позволяет при описании колебательной кинетики учитывать только колебательно-поступательные одноквантовые $V-T$ -обмены при столкновениях молекул с атомами. Рассматривая течение в пограничном слое с переменной по его толщине температурой газа T , предположим, что параметры течения удовлетворяют условиям

$$\tau_{vt} \ll \vartheta \sim \tau_{ch} \quad (1.2)$$

$$\tau_{vt} = \left[ZP_{10} \left(1 - \exp \left(-\frac{E_1}{kT} \right) \right) \right]^{-1}, \quad \vartheta \sim \frac{L}{u} \sim \frac{L_t^2}{cl} \quad (1.3)$$

Здесь P_{10} – вероятность $V-T$ -перехода с первого колебательного уровня молекулы A_2 на нулевой, E_1 – колебательный квант, k – постоянная Больцмана, L – масштаб течения в направлении потока, u – продольная компонента скорости газа, L_t – толщина слоя, совпадающая с масштабом изменения T на свою величину, l – длина пробега, c – тепловая скорость молекул.

Покажем, что в таком течении населенности n_α верхних колебательных уровней могут значительно отличаться от своих локально-равновесных значений $n_\alpha^\circ = nB_\alpha$ из-за влияния процесса диффузии.

Выражение для j_α – диффузионного потока молекул с энергией E_α следует при $l \ll L_t$ из решения уравнения Больцмана для функции распределения этих молекул по скоростям. Можно показать, что в рассматриваемом случае это выражение имеет вид

$$j_\alpha = -D_{23}(T) \nabla \left(\frac{n_\alpha}{N} \right), \quad D_{ij} \sim \frac{c}{\sigma} \quad (1.4)$$

где N – числовая плотность инертных атомов, σ – сечение столкновения, индексы 1, 2, 3 в выражениях с D_{ij} здесь и далее относятся соответственно к атомам – продуктам реакции, молекулам и атомам газа-разбавителя.

Пусть в силу (1.2) населенности $n_\alpha \approx n_\alpha^\circ$. Установим диапазон энергий E_α , для которого это так. При $E_\alpha \gg kT$ в соответствии с (1.4) имеем такое выражение для $j_{\alpha y}$

$$j_{\alpha y} \approx -D_{23} \nabla_y \left(\frac{n_\alpha}{N} B_\alpha \right) = -D_{23} B_\alpha \left[\nabla_y \left(\frac{n_\alpha}{N} \right) + \frac{n_\alpha}{N} \frac{E_\alpha - E_0}{kT} \nabla_y \ln T \right] \approx -D_{23} \frac{n_\alpha^\circ}{N} \left(\frac{E_\alpha}{kT} \right) \nabla_y \ln T \quad (1.5)$$

Координата поперек пограничного слоя здесь и далее обозначается y . Из (1.5) видно, что сильно возбужденные молекулы диффундируют в направлении уменьшения T . Скорость диффузии равна

$$V_{av} \approx -\frac{D_{23}}{N} \frac{E_\alpha}{kT} \nabla_y \ln T \sim -\frac{E_\alpha}{kT} c \frac{l}{L_T}, \quad |V_{av}| \gg v \sim c \frac{l}{L_T}$$

т. е. величина V_{av} значительно превосходит нормальную компоненту скорости газа v . Происходит это за счет уменьшения с ростом E_α масштаба изменения n_α°

$$L_\alpha = |\nabla \ln n_\alpha^\circ|^{-1} \sim L_T (kT/E_\alpha) \ll L_T \sim |\nabla \ln T|^{-1}$$

Дифференциальная часть уравнения переноса для n_α здесь имеет вид

$$\nabla(n_\alpha^\circ u) + \nabla_y j_{av} \approx \nabla_y j_{av} \approx -\frac{D_{23} n_\alpha^\circ}{N} \left(\frac{E_\alpha}{kT} \nabla_y \ln T \right)^2 \sim -\frac{n_\alpha^\circ}{\tau_\alpha^D} \quad (1.6)$$

Следовательно, основной вклад в перенос молекул с энергиями $E_\alpha \gg kT$ дает их диффузия поперек пограничного слоя. Определяющее интенсивность этого переноса время τ_α^D по порядку величины равно $\Theta(kT/E_\alpha)^2$.

Согласно (1.5), диффундирующие молекулы с энергиями $E_\alpha \gg kT$ попадают в области течения со все более низкой температурой, где населенности $n_\alpha \approx n_\alpha^\circ$ должны сильно уменьшаться. Происходит это за счет $V-T$ -переходов. Для температур, при которых $E_1 \ll kT$, такое уменьшение числа молекул с энергиями $\sim E_\alpha$ не может произойти быстрее, чем за время

$$\tau_\alpha^V \sim \frac{E_1}{ZP_{10}E_\alpha} \frac{E_\alpha}{E_1} \frac{kT}{E_1} \sim \frac{kT}{ZP_{10}E_1} \sim \tau_{vt} \quad (1.7)$$

Величина τ_α^V равна произведению времени одного перехода ($\alpha \rightarrow \alpha-1$) на число переходов $\sim E_\alpha/E_1$, необходимое для прохода молекулой участка колебательного спектра с энергиями $\sim E_\alpha$. Последний сомножитель в (1.7) отражает факт снижения эффективной скорости движения молекул по колебательному спектру из-за сближения по величине при $E_1 \ll kT$ вероятностей $V-T$ -переходов вверх и вниз по спектру.

Очевидно, что населенности n_α могут быть близки n_α° лишь при $\tau_\alpha^V \ll \tau_\alpha^D$. Согласно (1.6) и (1.7), это неравенство выполняется для энергий

$$E_\alpha \ll E_*^D = \frac{kT}{\Delta_D}, \quad \Delta_D^2 = \left(\frac{l}{L_T} \right)^2 \frac{1}{P_{10}} \frac{kT}{E_1} \sim \frac{\tau_{vt}}{\Theta} \ll 1 \quad (1.8)$$

Для уровней с энергиями $E_\alpha \sim E_*^D$ релаксация не успевает уменьшать n_α в соответствии с уменьшающейся температурой газа, окружающего диффундирующие частицы. Здесь $n_\alpha > n_\alpha^\circ$ несмотря на выполнение условия $\tau_{vt} \ll \Theta$. Решение, полученное в п. 2, подтверждает этот качественный вывод.

В силу (1.1) диффузия способна изменить макроскопическую скорость диссоциации, если $E_*^D \sim Q$. Для случаев, когда $E_*^D \gg Q$, этот эффект должен исчезать.

В [10, 11] установлено, что в течениях с конвективным переносом частиц и переменной по пространству T конечное отличие n_α от n_α° имеет место для уровней с энергиями

$$E_\alpha \sim E_*^c = \frac{kT}{\Delta_c}, \quad \Delta_c \sim \frac{\tau_{vt}}{\Theta} \quad (1.9)$$

Из сравнения (1.8) и (1.9) следует, что при $\tau_{vt} \ll \Theta$ величина $\Delta_D^2 \sim \Delta_c \ll 1$ и, следовательно, $\Delta_D \gg \Delta_c$. Поэтому при наличии около поверхности ламинарного пограничного слоя с изменяющейся по его толщине температурой газа отклонение n_α от n_α° внутри слоя будет происходить для зна-

чительно меньших E_a , чем в невязкой области течения, а влияние движения газа на скорость диссоциации прежде всего будет проявляться внутри пограничного слоя.

2. При $E_1 \ll kT$ для описания кинетики $V-T$ -обменов применимо диффузионное приближение [4]. Здесь от населенности n_a и других макроскопических величин, соответствующих молекулам с энергией E_a , можно перейти к функциям распределения этих величин по энергии E , которая принимает теперь непрерывные значения. Например, величина $n_a \approx \approx nY(E)dE$, где $E \in [E_a, E_{a+1}]$, $dE = E_1 = E_{a+1} - E_a$. Распределение $Y(E)$ обладает свойством

$$\int_0^q Y(E) dE = 1 \quad (2.1)$$

В этом приближении для рассматриваемых течений и $E \gg kT$ уравнение для $Y(E)$ в главном приближении имеет вид

$$-\frac{D_{23}}{N} \nabla_y \nabla_y Y = ZP_{10} \frac{E_1}{kT} \frac{\partial}{\partial E} \left[E \left(kT \frac{\partial Y}{\partial E} + Y \right) \right] \quad (2.2)$$

Решение (2.2) вследствие предположения о диссоциации с верхнего уровня должно удовлетворять условию равенства вычисленного при $E=Q$ потока молекул по колебательному спектру из-за $V-T$ -переходов и макроскопической скорости реакции R_d

$$ZP_{10} \frac{E_1}{kT} \left[E \left(kT \frac{\partial Y}{\partial E} + Y \right) \right]_{E=Q} = \frac{R_d}{n} = ZK_d E_1 [B(Q) H_{ch} - Y(Q)] \quad (2.3)$$

$$H_{ch} = \left(\frac{n_p^2}{n} \right) \left(\frac{n}{n_p^2} \right)_{eq}$$

Здесь n_p — числовая плотность атомов — продуктов реакции, индексом eq обозначено локально-равновесное значение отношения (n/n_p^2) , $B(E)$ — больцмановское распределение

$$B(E) = \exp \left(-\frac{E}{kT} \right) \left[\left(1 - \exp \left(-\frac{Q}{kT} \right) \right) kT \right]^{-1}, \quad B_a \approx B(E) E_1$$

Задачу (2.1) — (2.3) удобно решать, преобразовав эти соотношения для функции $F = Y/B$. При $E \gg kT$ будем иметь

$$-\frac{D_{23}}{N} [\nabla_y \nabla_y F + 2\varepsilon \nabla_y \ln T \nabla_y F + (\varepsilon \nabla_y \ln T)^2 F] = \frac{ZP_{10} E_1 \varepsilon}{kT} \left(\frac{\partial^2 F}{\partial \varepsilon^2} - \frac{\partial F}{\partial \varepsilon} \right) \quad (2.4)$$

$$\left. \frac{\partial F}{\partial \varepsilon} \right|_{\varepsilon=q} = \chi [H_{ch} - F(q)], \quad \int_0^q \exp(-\varepsilon) F(\varepsilon) d\varepsilon = 1 - \exp(-q)$$

$$\varepsilon = \frac{E}{kT}, \quad q = \frac{Q}{kT}, \quad \chi = \frac{K_d}{P_q} \frac{kT}{E_1}, \quad P_q = P_{10} \frac{Q}{E_1}$$

Здесь P_q — вероятность $V-T$ -переходов при $E=Q$. Решение для F получим в предположении

$$|\nabla \ln F| \ll |\nabla \ln B| \approx \varepsilon |\nabla \ln T| \quad (2.5)$$

область справедливости которого устанавливается далее. С учетом (2.5) вместо уравнения (2.4) для F будем иметь

$$-\Delta^2 \varepsilon F = \frac{\partial^2 F}{\partial \varepsilon^2} - \frac{\partial F}{\partial \varepsilon}, \quad \Delta^2 = \frac{D_{23}}{N} \frac{1}{ZP_{10}} \frac{kT}{E_1} (\nabla_y \ln T)^2 \quad (2.6)$$

Заметим, что $\Delta \sim \Delta_D \ll 1$, $q \gg 1$. Для вычисления F используем метод многих масштабов [12]. В результате найдем, что для энергий $1 \ll \varepsilon \ll \Delta_D^{-2}$ «внешнее» решение удовлетворяет уравнению

$$\Delta^2 \varepsilon F_e = \frac{\partial F_e}{\partial \varepsilon} \quad (2.7)$$

и, следовательно, имеет вид

$$F_e = C_0 \exp\left(\frac{\Delta^2 \varepsilon^2}{2}\right) \quad (2.8)$$

Ограничение на ε «сверху» обеспечивает выполнение условия (2.5) и малую величину $\partial^2 F_e / \partial \varepsilon^2$ по сравнению с $\partial F_e / \partial \varepsilon$.

Если $q \ll \Delta_D^{-2}$, «внутреннее» решение в области $q - \varepsilon \sim 1$ находится из уравнения $\partial^2 F_e / \partial \varepsilon^2 - \partial F_e / \partial \varepsilon = 0$, откуда

$$F_i = C_1 + C_2 \exp(\varepsilon - q) \quad (2.9)$$

Условие (2.5) не выполняется для решения (2.9), но это несущественно, так как при $q \ll \Delta_D^{-2}$ вид левой части уравнения (2.4), для упрощения которой используется (2.5), не влияет в главном приближении на F_i .

Постоянные интегрирования C_0 , C_1 , C_2 в выражениях (2.8) и (2.9) находятся из условия на $\partial F / \partial \varepsilon$ при $\varepsilon = q$, сращивания F_e и F_i и нормировки $Y(E)$. В итоге находим справедливые в условиях $1 \ll \varepsilon \ll q \ll \Delta_D^{-2}$ выражения для $F(\varepsilon)$ и макроскопической скорости реакции R_d

$$F(\varepsilon) = \exp\left(\frac{\Delta^2 \varepsilon^2}{2}\right) + \frac{\kappa}{\kappa+1} \left[H_{ch} - \exp\left(\frac{\Delta^2 q^2}{2}\right) \right] \exp(\varepsilon - q) \quad (2.10)$$

$$R_d \approx ZK_d \left(\frac{E_1}{kT} \right) \frac{n}{\kappa+1} \exp\left(-\frac{Q}{kT}\right) \left[H_{ch} - \exp\left(\frac{\Delta^2 q^2}{2}\right) \right] \quad (2.11)$$

$$\Delta^2 = \frac{D_{23}}{N} \tau_{VT} (\nabla_y \ln T)^2 \sim \Delta_D^{-2} \sim \frac{\tau_{VT}}{\theta} \quad (2.12)$$

Из (2.11) следует, что в течениях с параметрами, такими, что $Q \geq E_*^D$ и, следовательно, $\Delta q \geq 1$, диффузия действительно способна значительно увеличить скорость реакции диссоциации за счет увеличения населенности верхних колебательных уровней. При этом изменяется соотношение между скоростями прямого и обратного химического процесса, т. е. эффективная константа равновесия. Это обстоятельство значительно отличает рассмотренный механизм от влияния на величину R_d возмущения $Y(E)$, вызванного самой реакцией, когда константа равновесия сохраняет свою величину [1]. Выражения (2.10), (2.11) переходят в соотношение для этого случая при $\Delta q \ll 1$, чему соответствует $E_*^D \gg Q$.

Отметим два существенных момента. Во-первых, неравновесная поправка к скорости реакции экспоненциально зависит от градиентов макроскопических параметров. Связано это с тем, что в расчете на сильное отклонение Y от B при $E \sim E_*^D$ в уравнении (2.7) слева сохранена функция F_e , а не стоит вместо нее единица, как это было бы в обычных методах возмущений, применяемых в аналогичных случаях $\tau_{VT} \ll \theta$ условиях. Подробный разбор этой особенности см. в [11].

Во-вторых, в течениях с большей степенью колебательной неравновесности, где $q \geq \Delta_D^{-2}$, выражения (2.8) – (2.10) не могут использоваться для определения R_d , упрощенные уравнения для F_e и F_i несправедливы и вычислять F следует из решения полного уравнения (2.4). Так как в это уравнение входят производные $\nabla_\nu F$ и $\nabla_\nu \nabla_\nu F$, особенно большие при $\varepsilon \sim q$, то отсюда можно заключить, что распределение Y при $E \sim Q$, а вместе с ним и скорость реакции R_d для $q \geq \Delta_D^{-2}$ теряют локальные свойства, характерные для обычной кинетики химических реакций. В частности, при этом константа скорости реакции будет зависеть от распределения N и T в некоторой конечной окрестности той точки, где вычисляется скорость реакции.

3. Сделаем несколько замечаний относительно параметров течений, где рассматриваемый эффект может иметь место, а также о корректности использования в таких условиях выражения (2.11).

Роль диссоциации в формировании состава смеси зависит от соотношения между ϑ и τ_{ch} . При $\kappa \gg 1$, что для $E_1 \ll kT$ выполняется, если $K_d \approx P_Q$, согласно (2.11) для характерного времени реакции τ_{ch} можно принять оценку

$$\tau_{ch} \sim \frac{1}{ZP_Q} \left(\frac{kT}{E_1} \right)^2 \exp \left(\frac{Q}{kT} \right) \quad (3.1)$$

Используя оценки (1.3), (1.8) и (3.1), можно показать, что энергия $E_*^D \sim Q$ и время течения $\vartheta \sim \tau_{ch}$, если $\lambda = \exp(q) q^{-3} \sim 1$ и, следовательно, $q < 10$. Для $q > 10$ величина $\lambda \gg 1$, и здесь возможны такие два случая: а) $\tau_{ch} \gg \vartheta$, $E_*^D \sim Q$, когда реакция, имея неравновесную скорость, фактически «заморожена» на временах $\sim \vartheta$; б) $\tau_{ch} \sim \vartheta$, $E_*^D \gg Q$, когда диффузия практически не влияет на реакцию, а распределение $Y(E)$ возмущается самим химическим процессом.

Таким образом, с точки зрения рассматриваемых в работе явлений интерес представляют не очень большие величины отношения Q/kT . Поскольку неравенства $E \gg kT$, $Q \gg kT$ существенно использовались при получении выражения (2.11) для скорости реакции R_d , этот факт требует дополнительных замечаний.

Согласно (2.11), величину

$$ZK_d \left(\frac{E_1}{kT} \right) \frac{1}{\kappa+1} \exp \left(-\frac{Q}{kT} \right) \frac{1}{N} = K_f(T) \quad (3.2)$$

можно трактовать как обычно измеряемую в экспериментах константу скорости диссоциации, используя в расчетах соответствующие значения $K_f(T)$. В связи с этим та «часть» асимптотики по отношению E/kT , которая содержится в левой части равенства (3.2), практически может быть сделана несущественной.

Если при $\tau_{vt} \ll \vartheta$ влияние диффузии на R_d конечно, то это реализуется только при $Q \gg kT$. Следовательно, здесь выражение для поправочного множителя $\exp(\Delta_D q^2/2)$ можно считать корректным. Если же для $\tau_{vt} \ll \vartheta$ величина $Q \sim kT$, то, как известно, в этом случае неравновесные поправки имеют порядок $O(\tau_{vt}/\vartheta)$, т. е. малы. Выражение (2.11) правильно отражает этот факт. В результате видим, что с помощью выражения (2.11), модифицированного с учетом (3.2), можно исследовать влияние процесса диффузии на скорость диссоциации. Диффузионное приближение для описания колебательной кинетики в условиях $q < 10$ можно считать приемлемым, так как для двухатомных молекул $Q/E_1 \sim 30$ и, следовательно, здесь $E_1/kT < 0.3$.

Для $E_*^D \sim Q$ условие $q < 10$ ведет к такому: $\Delta_D^2 \sim \tau_{vt}/\vartheta \geq 10^{-2}$. С другой стороны, выражение (2.11) применимо, если $\tau_{vt}/\vartheta \ll q^{-1} < 1$. Отсюда можно получить ограничения на величину числа Рейнольдса Re течений, которые могут исследоваться с помощью (2.11) и для которых влияние диффузии на скорость реакции будет конечным

$$\frac{M^2}{P_Q} \left(\frac{Q}{E_1} \right)^2 < Re = \frac{LM}{l} \leq 10^2 \frac{kT}{Q} \left[\frac{M^2}{P_Q} \left(\frac{Q}{E_1} \right)^2 \right] \quad (3.3)$$

Здесь $M \sim u/c$ – число Маха течения. При увеличении значения числа Re за рамки диапазона (3.3) влияние диффузии ослабевает, так как при этом $\Delta_D < 1$. С уменьшением величины Re за рамки этого диапазона становится некорректным использование формулы (2.11), поскольку здесь нарушается условие $q \ll \Delta_D^{-2}$.

4. В качестве примера течения был выбран пограничный слой в окрестности критической точки затупленного тела, обтекаемого гиперзвуковым потоком аргона. Предполагалось, что через поверхность тела подается небольшой расход азота, который диффундирует в пограничный слой и диссоциирует в нем. Из-за малости концентрации диссоциирующих молекул азота и атомов — продуктов реакции основные свойства течения (поля скорости, температуры и плотности) формируются одноатомным газом-разбавителем, т. е. аргоном. Коэффициенты вязкости и теплопроводности последнего определяются без учета влияния молекул азота. Поэтому далее речь идет о результатах численного решения уравнений переноса для n и n_p ,

$$\nabla_x(nu) + \nabla_y(nv) = \nabla_y \left[D_{23} \nabla_y \left(\frac{n}{N} \right) \right] + R_d$$

$$\nabla_x(n_p u) + \nabla_y(n_p v) = \nabla_y \left[D_{13} \nabla_y \left(\frac{n_p}{N} \right) \right] - 2R_d$$

в которых N , T , u , v являются известными функциями y и x — продольной координаты.

Введем обозначения: H — энталпия газа, H_w — ее значение у поверхности тела, H_0 — энталпия торможения, $\rho = m_3 N$ — массовая плотность газа разбавителя, p — давление, u_e — скорость на внешней границе пограничного слоя, γ — показатель адиабаты, r_w — расстояние от оси симметрии до рассматриваемой точки поверхности тела, j — показатель, равный нулю в плоском и единице в осесимметричном случае, μ — коэффициент вязкости, Pr и Sc — числа Прандтля и Шмидта.

В окрестности критической точки величина $g = (H - H_w) / (H_0 - H_w)$ и безразмерная функция тока $f = \Psi \Psi_*^{-1}$, где

$$\nabla_y \Psi = r_w^j \rho u, \quad \nabla_x \Psi = -r_w^j \rho v, \quad \Psi_* = [2xpr_w^{2j}u_e\gamma(\gamma-1)^{-1}]^{1/2}$$

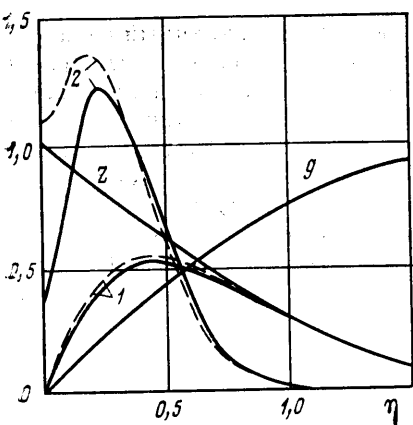
при линейном законе зависимости μ от T и $Pr = \text{const}$ являются универсальными функциями переменной Дородницина — Лиза

$$\eta = r_w^j u_e \int_0^y \rho dy \Psi_*^{-1}$$

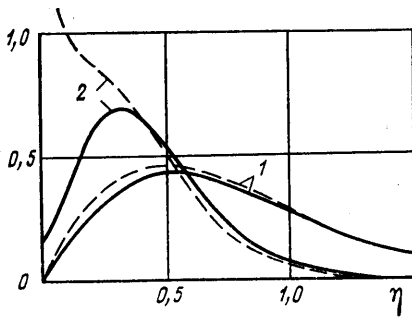
Кроме этого, при $Sc_1 = Sc_2 = \text{const}$, $Sc_i = \mu N / \rho D_{13}$ универсальным будет и распределение относительной массовой концентрации азота $z = \chi \chi_w^{-1}$, где $\chi = c_1 + c_2$, $c_1 = m_2 n_p / 2\rho$, $c_2 = m_2 n / \rho$, m_2 — масса молекулы азота. Эти универсальные функции были найдены путем численного интегрирования соответствующей системы обыкновенных дифференциальных переменных. Функции $g(\eta)$ и $z(\eta)$ представлены на фиг. 1.

Таким образом, уравнение переноса для атомов азота, переписанное для функции $\theta(\eta) = c_1 \chi_w^{-1}$, интегрировалось при известных значениях безразмерных профилей f , g , z . Чтобы избежать особенности или неустойчивости, которые могут возникнуть при численном интегрировании уравнений, содержащих источниковый член, чья величина может меняться в очень широких пределах, использовалась конечно-разностная схема с равномерной сходимостью [13].

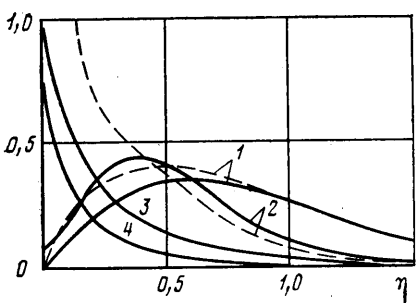
Константы скорости диссоциации азота в аргоне брались из [14], константа равновесия и время релаксации τ_{vt} брались согласно данным, приведенным в [15] на с. 42 и 35 соответственно. Радиус затупления был принят равным 10^2 см, число $M_\infty = 25$ ($u_\infty = 7,8$ км s^{-1}), $H_0/H_w = 4$, $\gamma = 5/3$, $Pr = 0,67$, $\mu = \mu_0 T T_0^{-1}$, $Sc_1 = Sc_2 = 0,5$, $\chi_w = 0,01$. Как показали результаты расчета, при $\rho \leq 10^{-7}$ г/см³ для перечисленных условий рекомбинация с относительной погрешностью $\sim 10^{-5}$ не влияет на характер распределения массовой концентрации атомов азота поперек пограничного слоя и, следова-



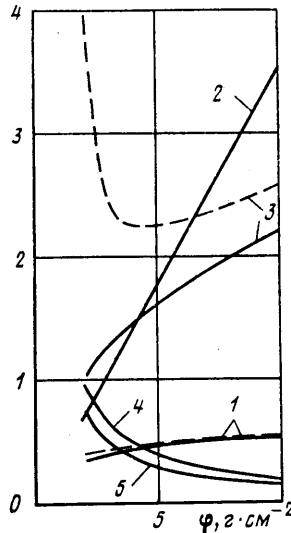
Фиг. 1



Фиг. 2



Фиг. 3



Фиг. 4

тельно, является справедливым закон бинарного подобия с критерием $\rho_\infty L$. Влияние рекомбинации становится существенным для $\rho_\infty \geq 10^{-6}$ г/см³, т. е. при $\rho_\infty L \geq 10^{-4}$ г/см².

На фиг. 1–3 приведены результаты расчета распределения относительной массовой концентрации атомов азота $\theta(\eta)$ и безразмерной скорости рождения этих атомов $R(\eta) = -2R_d m_2 x (\rho u_e \chi_w)^{-1}$ в зависимости от величины параметра $\rho_\infty L$. Сплошные кривые соответствуют расчету без учета влияния диффузии на R_d , штриховые — с учетом такого влияния. Параметр $\rho_\infty L$ принимали равным 10^{-5} г/см² (фиг. 1), $4 \cdot 10^{-6}$ г/см² (фиг. 2), $2 \cdot 10^{-6}$ г/см² (фиг. 3). Кривые 1 на фигурах соответствуют $\theta(\eta)$, кривые 2 — величине $0,1R(\eta)$. Кроме этого, на фиг. 3 для $\rho_\infty L = 2 \cdot 10^{-6}$ г/см² кривыми 3 и 4 показаны соответственно распределения по координате η величин $5\Delta^2$ и $\Delta^2 q/2$, где Δ^2 определено (2.6) и (2.12).

Режим с $\rho_\infty L = 2 \cdot 10^{-6}$ г/см² представляет собой случай, где значения этих величин при $\eta=0$ имеют максимальные допустимые значения с точки зрения применимости выражения (2.11) для R_d . Действительно, при $H_0/H_w = 4$, $\Delta_w^2 q_w / 2 = 0,75$ и отношении $Q/kT_w = 7,6$, которое реализуется в принятых условиях, увеличенная за счет влияния диффузии экспонента в «константе» скорости диссоциации для $\eta=0$ имеет ту же величину, что и

на внешней «горячей» границе слоя. Эффект нелокальности, возникающий при $\Delta^2 q \geq 1$ (см. п. 2), не может дать большего увеличения скорости реакции. В связи с этим данные на фиг. 3, следуют рассматривать лишь как качественные, поскольку здесь при $\eta=0$ выражение для R_d находится на границе области применимости.

Из приведенных результатов видно, что влияние диффузии на скорость диссоциации резко возрастает с уменьшением $\rho_\infty L$ и сказывается в первую очередь на величине R_d и распределении диссоциировавших атомов. Это подтверждают и данные, приведенные на фиг. 4, где кривые 1–5 показывают изменение с величиной $\varphi = 10^5 \rho_\infty L$ г/см² следующих параметров: 1 – θ_{\max} ; 2 – R_w ; 3 – $(\theta'_w)_w$; 4 – $5\Delta_w^2$; 5 – $\Delta_w^2 q_w^2 / 2$. Пунктирные кривые соответствуют расчету θ_{\max} и $(\theta'_w)_w$ по «новой» кинетике диссоциации. Величина R_w для этой кинетики может быть получена по кривой 2 умножением на $\exp(\Delta_w^2 q_w^2 / 2)$, где $q_w = 7,6$. Величины Δ^2 и $\Delta^2 q$ максимальны при $\eta=0$ (см. фиг. 3). Именно поэтому они показаны на фиг. 4. Следует отметить значительное увеличение производной $(\theta'_w)_w$, рассчитанной по «новой» кинетике реакции, и ее немонотонное изменение при уменьшении значения $\rho_\infty L$.

Был также рассмотрен случай, когда малая примесь азота ($\chi_\infty = 0,01$) содержится в набегающем потоке с такими же параметрами, что и ранее, и полностью диссоциирует при прохождении через область течения за головной волной. Характер влияния диффузии на величину R_d и распределение $\theta(\eta) = c_1(\eta)\chi_\infty^{-1}$ здесь остается в основном тем же, если поверхность каталитическая и $\theta(0) = 0$. Для $Sc_1 = Sc_2 = 0,5$ условие на $z(\eta) = \chi(\eta)\chi_\infty^{-1}$ при $\eta=0$ имеет вид $z'_\eta = 0$. На фиг. 5 в таких же обозначениях, что и ранее для $\rho_\infty L = 2 \cdot 10^{-6}$ г/см² показаны: 1 – $z(\eta)$; 2 – $\theta(\eta)$; 3 – $0,1\theta'_w$; 4 – $0,1R(\eta)$. Для некаталитической поверхности $\theta'_w = 0$ и решение имеет вырожденный характер: $z(\eta) = \theta(\eta) = 1$.

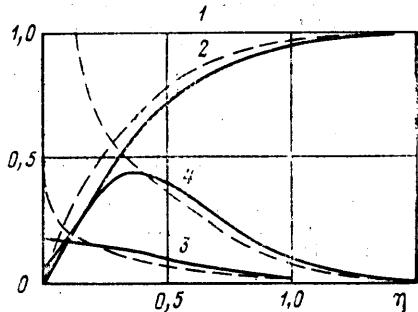
В заключение еще раз обратимся к распределениям молекул по колебательным энергиям в течениях с конвективным [11] и диффузионным переносом частиц. Функции $F = Y/B$ для этих случаев представляются выражениями (2.9) из [11] и (2.10) из п. 2 настоящей работы. Для удобства приведем их здесь еще раз для $H_{\text{ch}} = 0$, т. е. в пренебрежении влиянием рекомбинации

$$F_i(\varepsilon) = \exp[\Phi_i(\varepsilon)] - \frac{\chi}{\chi+1} \exp[\Phi_i(q)] \exp(\varepsilon-q) \quad (4.1)$$

$$\varphi_C = \frac{2\tau_{VT}\nabla u}{3} \varepsilon = \delta_C \varepsilon, \quad \varphi_D = \frac{D_{23}\tau_{VT}(\nabla_v \ln T)^2}{2N} \varepsilon^2 = \delta_D \varepsilon^2$$

Здесь величины с индексом C относятся к случаю с конвективным переносом молекул, с индексом D – к случаю диффузионного их переноса. По своему определению $\delta_i \sim \tau_{VT} \theta^{-1}$.

Скорость реакции диссоциации пропорциональна $F_i(q)$. Поэтому в соответствии с (4.1) найдем, что при одинаковых T и диффузионном и конвективном переносах скорости реакции относятся как $\exp(\delta_D q^2) / \exp(\delta_C q)$. Для $q = Q/kT = 7$ и $\delta_i = 0,05$ это отношение равно 8,17. Такая оценка подтверждает собой вывод п. 1 о том, что влияние движения газа на кинетику реакций сильно возбужденных молекул (пример такой реакции – диссоциация) прежде всего будет проявляться внутри пограничного слоя, где скорость реакции оказывается экспоненциально зависящей от квадрата



Фиг. 5

градиента температуры газа. Эксперименты, направленные на обнаружение влияния движения на кинетику реакций, также должны исходить из этого обстоятельства и основываться на исследовании свойств течения в пограничном слое или слое смешения.

ЛИТЕРАТУРА

1. Гордиец Б. Ф., Осипов А. И., Шелепин Л. А. Кинетические процессы в газах и молекулярные лазеры. М.: Наука, 1980. 512 с.
2. Колесниченко Е. Г. Вывод гидродинамических уравнений для многоатомных и химически реагирующих газов.—Докл. АН СССР, 1978, т. 240, № 1, с. 40–42.
3. Колесниченко Е. Г., Лосев С. А. Кинетика релаксационных процессов в движущихся средах.—В кн.: Химия плазмы. Вып. 6. М.: Атомиздат, 1979, с. 209–229.
4. Лосев С. А. О влиянии движения газа на кинетику релаксационных процессов (Результаты теории и постановка эксперимента).—В кн.: Молекулярная газовая динамика. Ч. 3. Тр. 6-й Всес. конф. по дин. разр. газов. Новосибирск, 1979. Новосибирск, 1980, с. 2–15.
5. Герасимов Г. Я., Колесниченко Е. Г. О влиянии неравновесных эффектов на явления переноса в диссоциирующем газе.—Письма в ЖТФ, 1981, т. 7, № 16, с. 965–968.
6. Герасимов Г. Я., Колесниченко Е. Г. Явления переноса в неравновесном диссоциирующем газе.—Изв. АН СССР. МЖГ, 1983, № 5, с. 159–166.
7. Макашев Н. К. Свойства решения уравнения Больцмана при высоких энергиях поступательного движения молекул и их следствия.—Докл. АН СССР, 1981, т. 258, № 1, с. 52–56.
8. Абрамов А. А., Макашев Н. К. Нарушение равновесной кинетики высокопороговых реакций в течениях с переменной по пространству температурой газа.—Докл. АН СССР, 1982, т. 263, № 5, с. 1083–1087.
9. Макашев Н. К. Особенности релаксации сильно возбужденных молекул и связанные с ними неравновесные эффекты в газодинамике.—Докл. АН СССР, 1982, т. 264, № 1, с. 52–55.
10. Макашев Н. К. Неравновесные явления в газодинамике и сильно возбужденные молекулы.—Уч. зап. ЦАГИ, 1984, т. 15, № 2, с. 30–42.
11. Макашев Н. К. О влиянии движения газа на кинетику реакций колебательно возбужденных молекул.—Изв. АН СССР. МЖГ, 1984, № 6, с. 100–105.
12. Ван-Дайк М. Методы возмущений в механике жидкости. М.: Мир, 1967. 310 с.
13. Дулан Э., Миллер Дж., Шилдерс У. Равномерные численные методы решения задач с пограничным слоем. М.: Мир, 1983. 199 с.
14. Рей К. Химическая кинетика воздуха при высокой температуре.—В кн.: Исследование гиперзвуковых течений. М.: Мир, 1964, с. 133–149.
15. Гладков А. А., Полянский О. Ю., Агафонов В. П., Вертушкин В. К. Неравновесные физико-химические процессы в аэродинамике. М.: Машиностроение, 1972. 344 с.

Москва

Поступила в редакцию
2.IV.1984